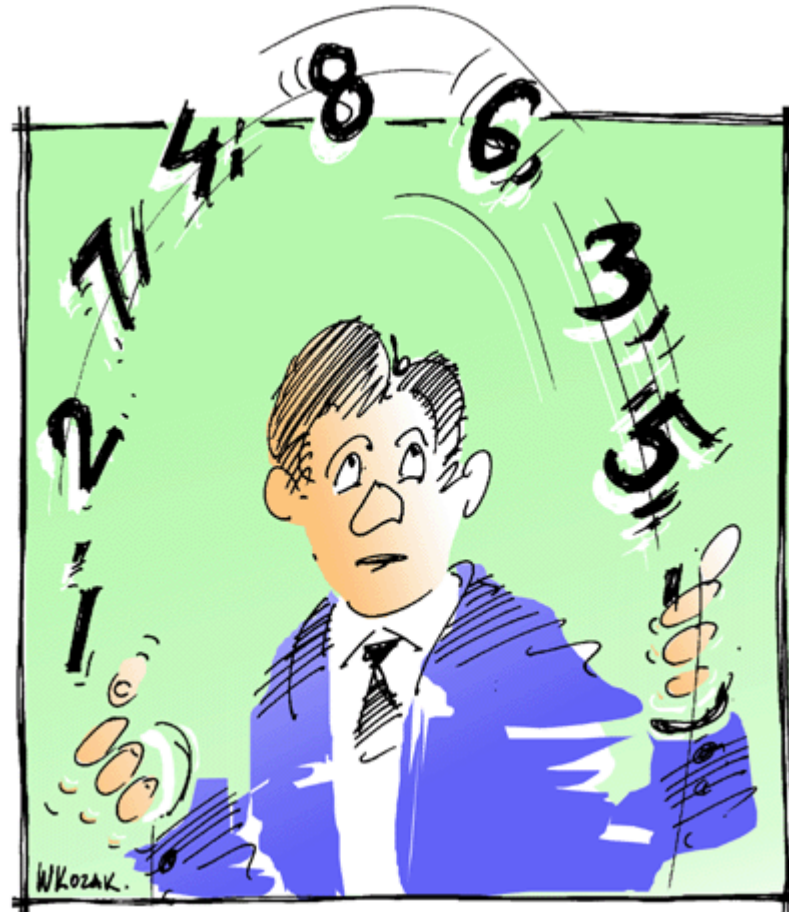
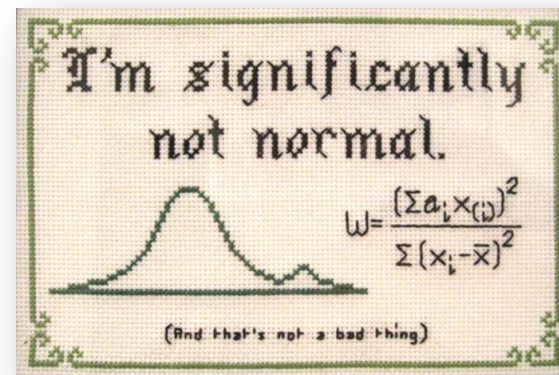


Seminario 2



TESTS DI VERIFICA DELLA NORMALITA'

- Il **test di Kolmogorov-Smirnov**: è un test non parametrico che verifica la forma delle distribuzioni campionarie.
- Il **test di Shapiro-Wilk**: è un test per la verifica di ipotesi statistiche ed è considerato in letteratura uno dei test più potenti per la verifica della normalità, soprattutto per piccoli campioni.
- Il **test di D'Agostino e Pearson**: first computes the [skewness and kurtosis](#) to quantify how far from Gaussian the distribution is in terms of asymmetry and shape. It then calculates how far each of these values differs from the value expected with a Gaussian distribution, and computes a single P value from the sum of these discrepancies. It is a versatile and powerful normality test, **and is recommended.**







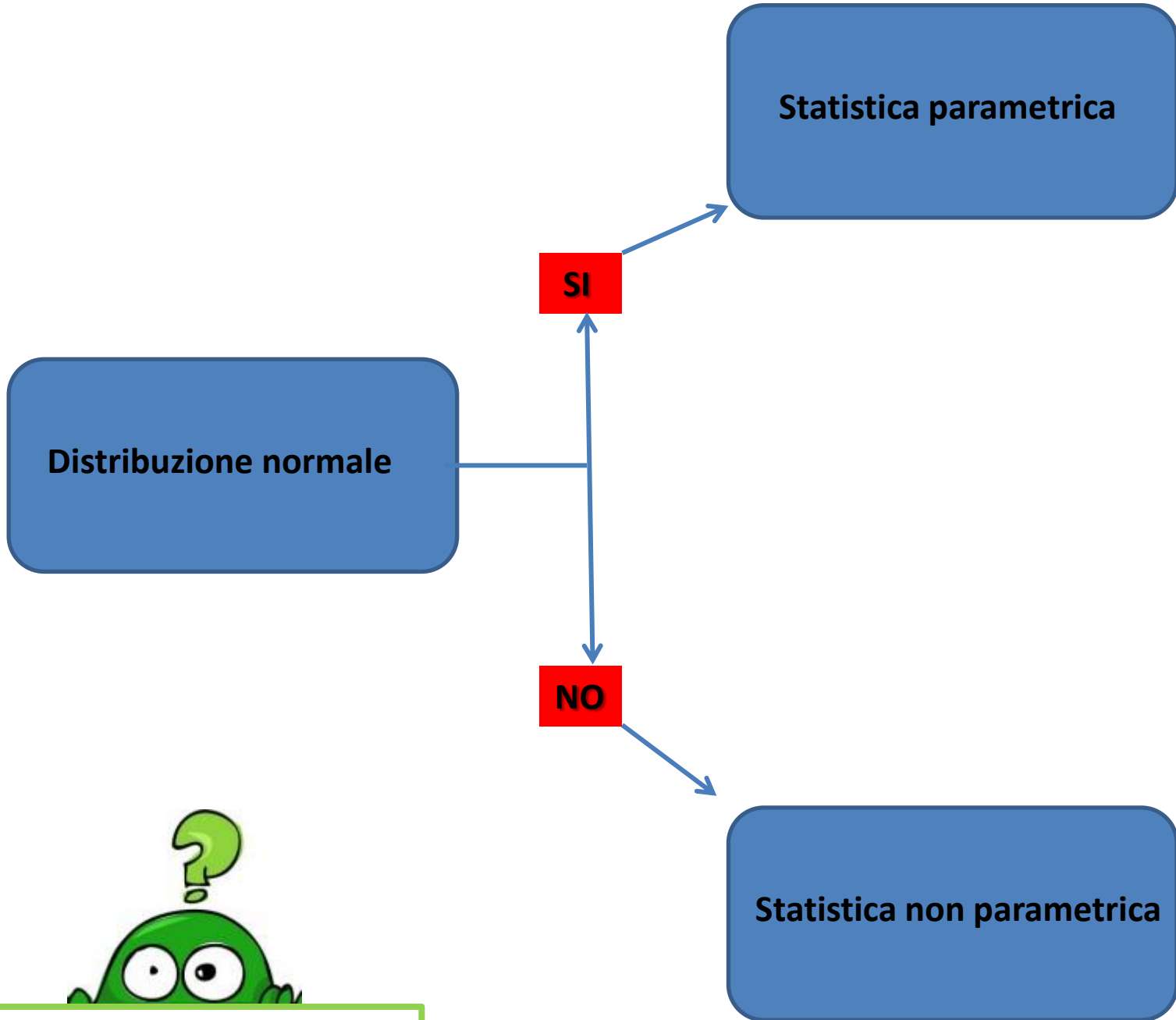
ESEMPIO TEST D'AGOSTINO AND PEARSON

L'ipotesi nulla è che i nostri dati seguano una distribuzione normale

	Number of values	15
dataset	Minimum	2,000
2,	25% Percentile	2,000
2,	Median	5,000
3,	75% Percentile	8,000
4,	Maximum	9,000
5,	Mean	5,200
8,	Std. Deviation	2,783
8,	Std. Error	0,7185
9,		
9,	Lower 95% CI of mean	3,659
9,	Upper 95% CI of mean	6,741
6,		
5,	D'Agostino & Pearson omnibus normality test	
4,		
2,	P value	0,0856
2,	Passed normality test (alpha=0.05)?	Yes

DIAGRAMMA DI FLUSSO

- Formulazione quesito 
- Definizione popolazione campionaria 
- Esperimento e raccolta dei dati 
- Statistica descrittiva 
- Tests di verifica dell'ipotesi
- Risposta al quesito



con le opportune riserve...

ANOVA

La varianza totale viene scomposta in un insieme di varianze parziali (corrispondenti a sorgenti di variazione ben definite).

Tali varianze vengono confrontate col Test F

$$\frac{\text{Varianza fra gruppi}}{\text{Varianza entro gruppi}} = F$$

La varianza **FRA** è uguale alla varianza ponderata delle medie parziali. I pesi sono uguali alle frequenze relative di gruppo.

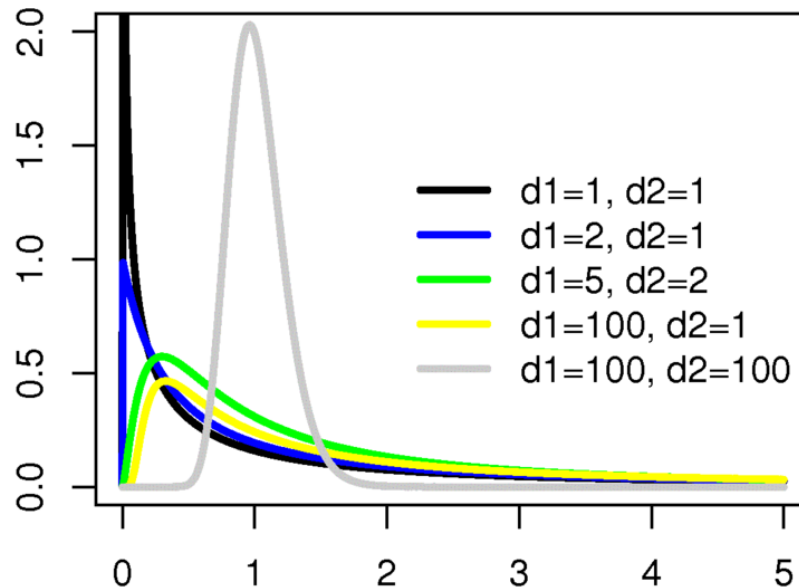
La varianza **ENTRO** è uguale alla media ponderata delle varianze parziali, calcolate in ogni gruppo. I pesi sono uguali alle loro frequenze relative.

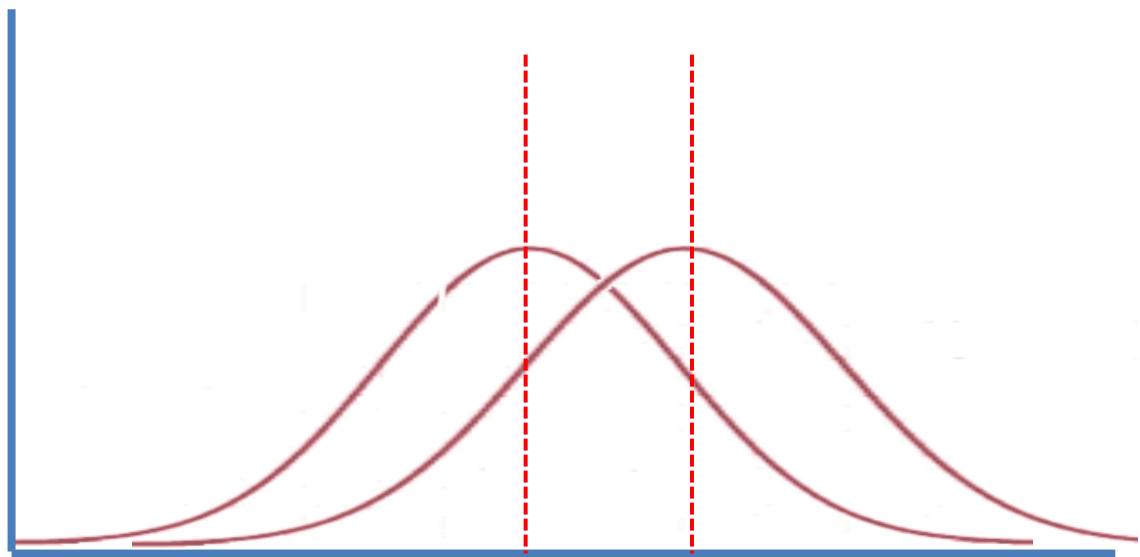
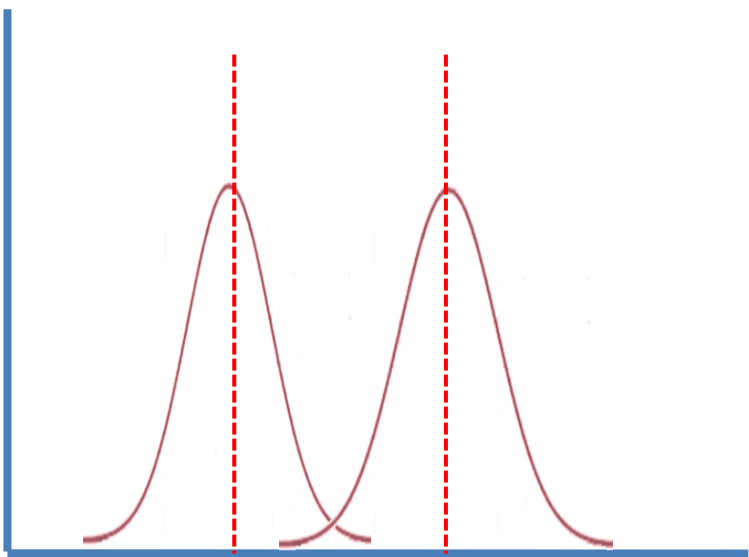
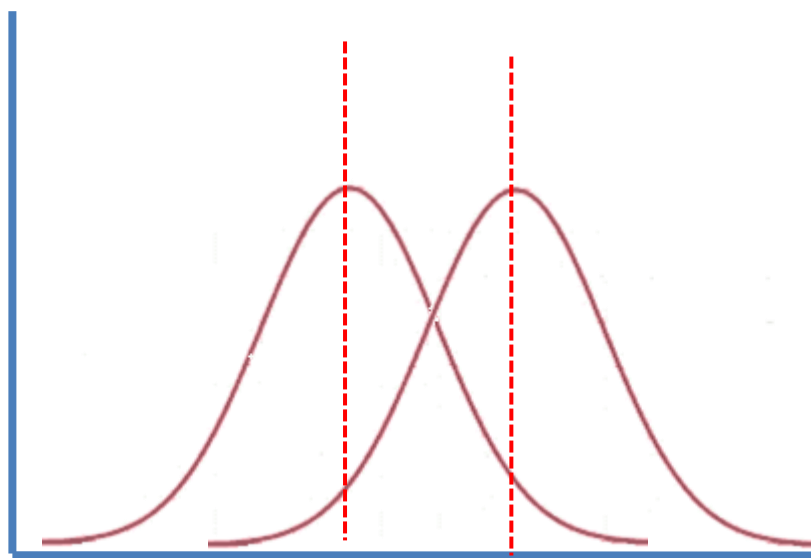
ANOVA

L'ipotesi nulla prevede che

1) i valori osservati derivino da una distribuzione gaussiana

2) con stessa media μ ; e stessa varianza σ^2





ANOVA

razza 1	razza 2
12,	16,
14,	17,
15,	18,
14,	19,
12,	20,
16,	18,
15,	17,
18,	15,
17,	22,
14,	20,
12,	19,

Table Analyzed
Column A
vs
Column B

Data 1
razza 1
vs
razza 2

Unpaired t test

P value

0,0002

P value summary

Are means signif. different? (P < 0.05)

Yes

One- or two-tailed P value?

Two-tailed

t, df

t=4.452 df=20

How big is the difference?

Mean ± SEM of column A

14.45 ± 0.6085 N=11

Mean ± SEM of column B

18.27 ± 0.6044 N=11

Difference between means

-3.818 ± 0.8576

95% confidence interval

-5.607 to -2.029

R squared

0,4977

F test to compare variances

F,DFn, Dfd

1.014, 10, 10

P value

0,9834

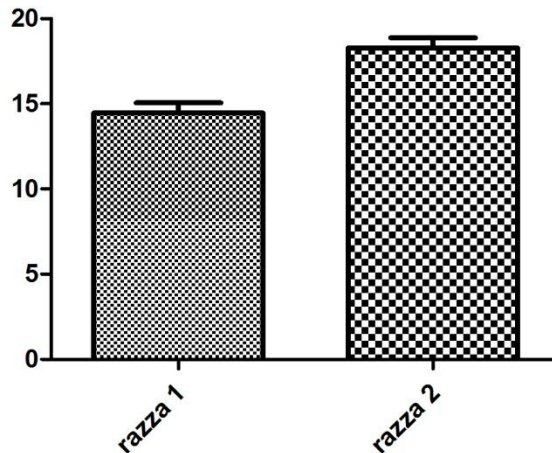
P value summary

ns

Are variances significantly different?

No

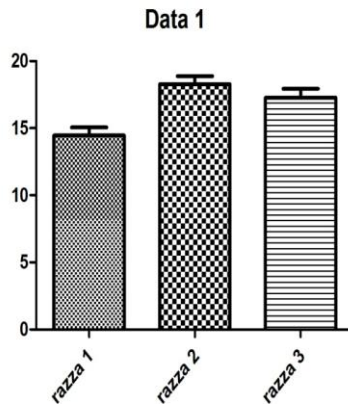
Data 1



razza 1	razza 2	razza 3	Table Analyzed	Data 1
12,	16,	15,	One-way analysis of variance	
14,	17,	14,	P value	0,0005
15,	18,	17,	P value summary	***
14,	19,	18,	Are means signif. different? (P < 0.05)	Yes
12,	20,	15,	Number of groups	3
16,	18,	16,	F	10,02
15,	17,	19,	R squared	0,4005
18,	15,	17,	Bartlett's test for equal variances	
17,	22,	18,	Bartlett's statistic (corrected)	0,09976
14,	20,	20,	P value	0,9513
12,	19,	21,	P value summary	ns
			Do the variances differ signif. (P < 0.05)	No

ANOVA Table	SS	df	MS
Treatment (between columns)	86,24	2	43,12
Residual (within columns)	129,1	30	4,303
Total	215,3	32	

Tukey's Multiple Comparison Test	Mean Diff.	q	Significant? P < 0.05?	Summary	95% CI of diff
razza 1 vs razza 2	-3,818	6,105	Yes	***	-5.998 to -1.638
razza 1 vs razza 3	-2,818	4,506	Yes	**	-4.998 to -0.6379
razza 2 vs razza 3	1,000	1,599	No	ns	-1.180 to 3.180



ESEMPIO II

razza 1	razza 2	razza 3	razza 4
22	24	26	31
23	24	26	30
23	25	27	26
24	23	25	24
23	22	25	27
23	25	26	28
24	26	27	30
23	24	27	
25		28	

One-way analysis of variance

P value	P<0.0001
P value summary	***
Are means signif. different? (P < 0.05)	Yes
Number of groups	4

ANOVA Table

Tukey's Multiple Comparison Test	Mean Diff.	q	Significant? P < 0.05?
razza 1 vs razza 2	-0,7917	1,565	No
razza 1 vs razza 3	-3,000	6,112	Yes
razza 1 vs razza 4	-4,667	8,894	Yes
razza 2 vs razza 3	-2,208	4,365	Yes
razza 2 vs razza 4	-3,875	7,191	Yes
razza 3 vs razza 4	-1,667	3,176	No

Diverso da ...

CTR	farmaco A	farmaco B	farmaco C	
23	26	30,5	31,6	
23	26	30,5	31,6	
24	27	31,5	32,6	
25	28	32,5	33,6	
22	25	29,5	30,6	
19	22	26,5	27,6	
18	18	27	28,1	
25	28	32,5	33,6	
19	22	26,5	27,6	
20	23	27,5	28,6	
media	21,8	24,5	29,5	30,6
ds	2,6	3,2	2,4	2,4

2 possibili interrogativi:

- a) I farmaci in esame sono efficaci?
- b) Quale funziona meglio?

Quesito a)

CTR vs. A $p=0.0538$

CTR vs. B $p<0.0001$

CTR vs. C $p<0.0001$



Risposta: c'è una $p>0.05$ che si verifichi l'ipotesi nulla per A
c'è una $p<0.0001$ che si verifichi l'ipotesi nulla per B e C

OVVERO

**B e C hanno un effetto
statisticamente rilevabile, A no**

Quesito B

One-way analysis of variance

P value	P<0.0001
P value summary	***
Are means signif. different? (P < 0.05)	Yes
Number of groups	3
F	14,24
R squared	0,5133

Bartlett's test for equal variances

Bartlett's statistic (corrected)	0,9836
P value	0,6115
P value summary	ns
Do the variances differ signif. (P < 0.05)	No

ANOVA Table

	SS	df	MS
Treatment (between columns)	207,7		2103,9
Residual (within columns)	197,0		277,294
Total	404,7		29

Tukey's Multiple Comparison Test

	Mean Diff.q	df	Significant? P < 0.05?
farmaco A vs farmaco B	-4,950	5,796	Yes
farmaco A vs farmaco C	-6,050	7,084	Yes
farmaco B vs farmaco C	-1,100	1,288	No



Risposta:

B e C non dimostrano differenze significative fra loro, A è significativamente diverso.

OVVERO

B e C si equivalgono, A funziona meno.



ATTENZIONE!!!

- C'è un CTR?
- Come vanno realizzati i confronti?
- Stesse misure ripetute?
- Dose-dipendenza?

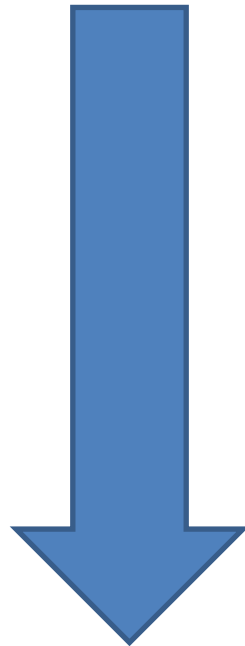


L'inutilità delle statistiche e' statisticamente dimostrata. (Umberto Domina)

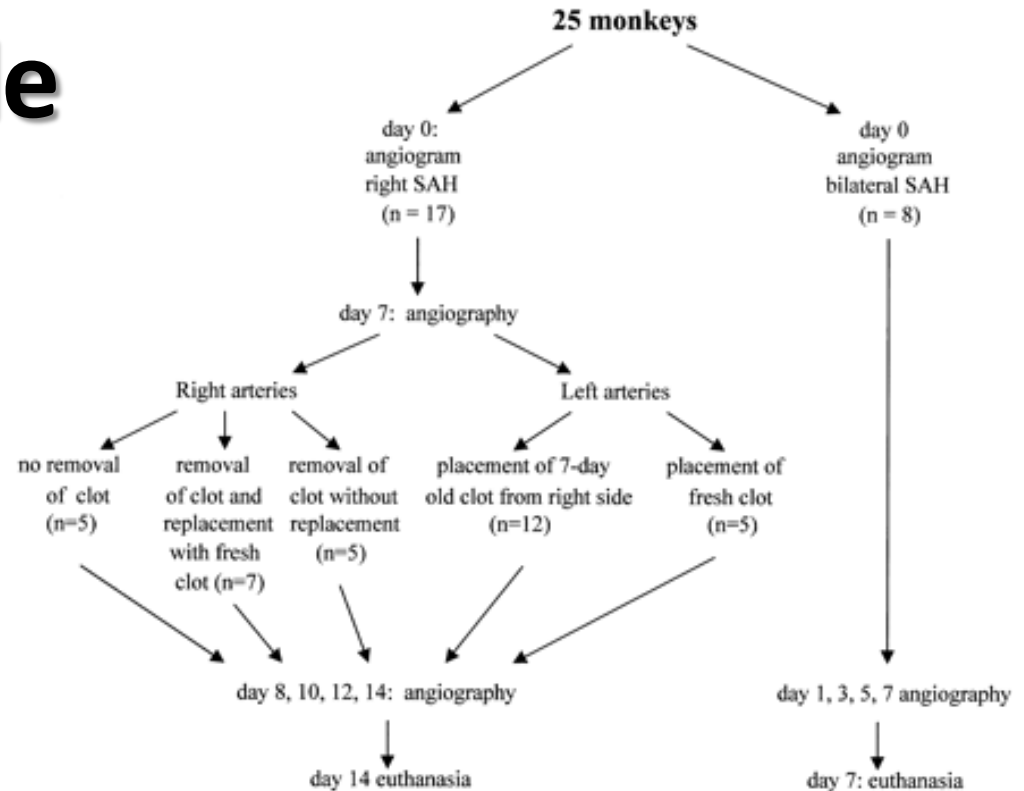


Ci sono tre tipi di bugie: le bugie, le dannate bugie e le statistiche. (Benjamin Disraeli)

Disegno sperimentale



Analisi dati



ANOVA TWO WAYS

		CTR			TRATTATI			
Giovani	23,0	24,0	23,0	25,0	26,00	27,0	27,00	27,00
Adulti	27,0	30,0	29,0	29,0	34,00	35,0	34,00	36,00
Anziani	33,0	34,0	34,0	34,0	38,00	37,0	39,00	40,00

Two-way ANOVA

Source of Variation	% of total variation	P value
Interaction	1,44	0,0203
Column Factor	19,98	P<0.0001
Row Factor	75,93	P<0.0001

Source of Variation	P value summary	Significant?
Interaction	*	Yes
Column Factor	***	Yes
Row Factor	***	Yes

Source of Variation	Sum-of-squares	Mean square	F
Interaction	9,083	4,542	4,881
Column Factor	126,0	126,0	135,4
Row Factor	479,1	239,5	257,4

ESEMPIO I

Table 1

Effect of the exposure to ELF-EMF of different intensities (0.5, 0.75 and 1 mT) on IVF.

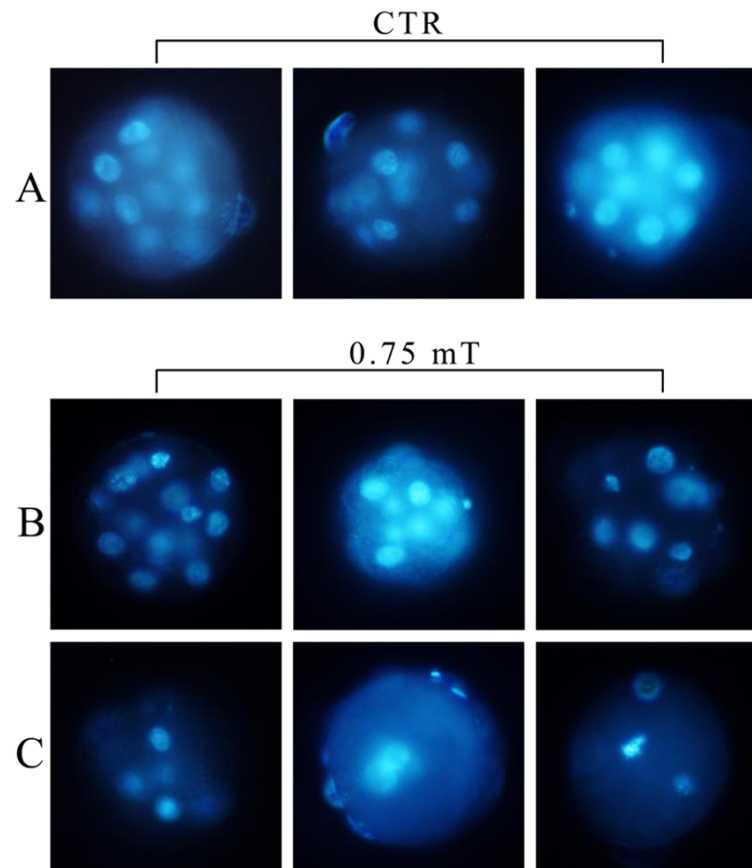
	CTR	0.5 mT	0.75 mT	1 mT
Fertilized oocytes (%)	90.7 ± 9.0	91.2 ± 8.6	58.7 ± 5.4 ^a	40.2 ± 6.2 ^{a,b}
Polyspermic oocytes (%)	59.7 ± 7.6	63.0 ± 6.4	49.2 ± 4.9 ^a	30.7 ± 5.2 ^{a,b}
n° spermatozoa/n° polyspermic oocyte	5.3 ± 0.3	5.2 ± 0.3	3.50 ± 0.50 ^a	1.83 ± 0.8 ^{a,c}

Note: The values are reported as mean ± SD.

^a = $P < 0.01$ vs. CTR.

^b = $P < 0.01$ vs. 0.75 mT.

^c = $P < 0.05$ vs. 0.75 mT.



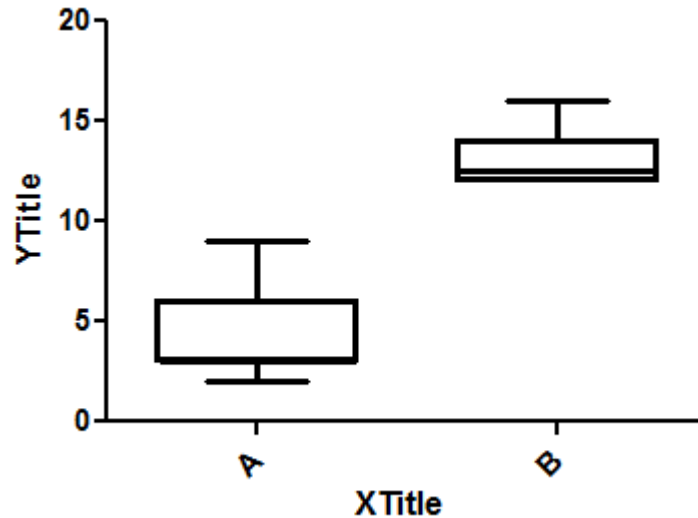
TESTS NON PARAMETRICI

A
2
2
2
3
3
3
3
3
3
3
3
4
5
6
6
6
7
8
9
9

B
12
12
12
13
13
13
12
12
13
14
14
14
16
16
12
12
12
12

Table Analyzed	Data 1
Column A	A
vs	vs
Column B	B
Mann Whitney test	
P value	P<0.0001
Are medians signif. different? (P < 0.05)	Yes

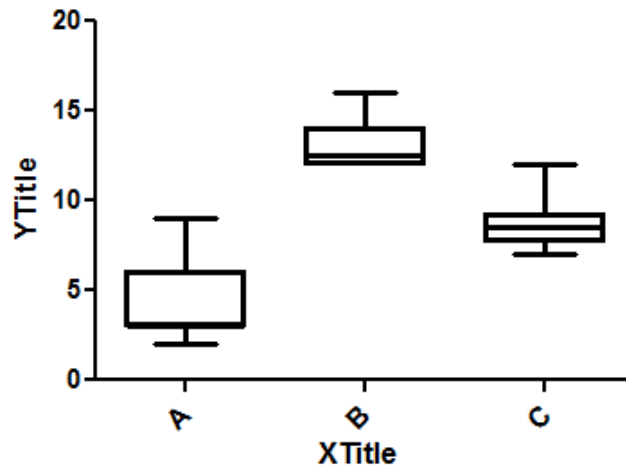
Number of values	21	18
Minimum	2,000	12,00
25% Percentile	3,000	12,00
Median	3,000	12,50
75% Percentile	6,000	14,00
Maximum	9,000	16,00



TESTS NON PARAMETRICI

A **B** **C**
 2 12 7
 2 12 7
 2 12 7
 3 13 7
 3 13 8
 3 13 8
 3 12 8
 3 12 8
 3 13 8
 3 14 12
 3 14 9
 3 14 9
 4 16 9
 5 16 9
 6 12 9
 6 12 10
 6 12 11
 7 12 11
 8
 9
 9

Table Analyzed	Data 1
Kruskal-Wallis test	
P value	P<0.0001
Exact or approximate P value?	Gaussian Approximation
P value summary	***
Do the medians vary signif. (P < 0.05)	Yes
Number of groups	3
Kruskal-Wallis statistic	45,58



	21	18	18
Number of values	21	18	18
Minimum	2,000	12,00	7,000
25% Percentile	3,000	12,00	7,750
Median	3,000	12,50	8,500
75% Percentile	6,000	14,00	9,250
Maximum	9,000	16,00	12,00

Dunn's Multiple Comparison Test	Difference in rank		Significant? P < 0.05?	Summary
	sum			
A vs B	-35,75		Yes	***
A vs C	-16,50		Yes	**
B vs C	19,25		Yes	**

TESTS NON PARAMETRICI

Comp Clin Pathol

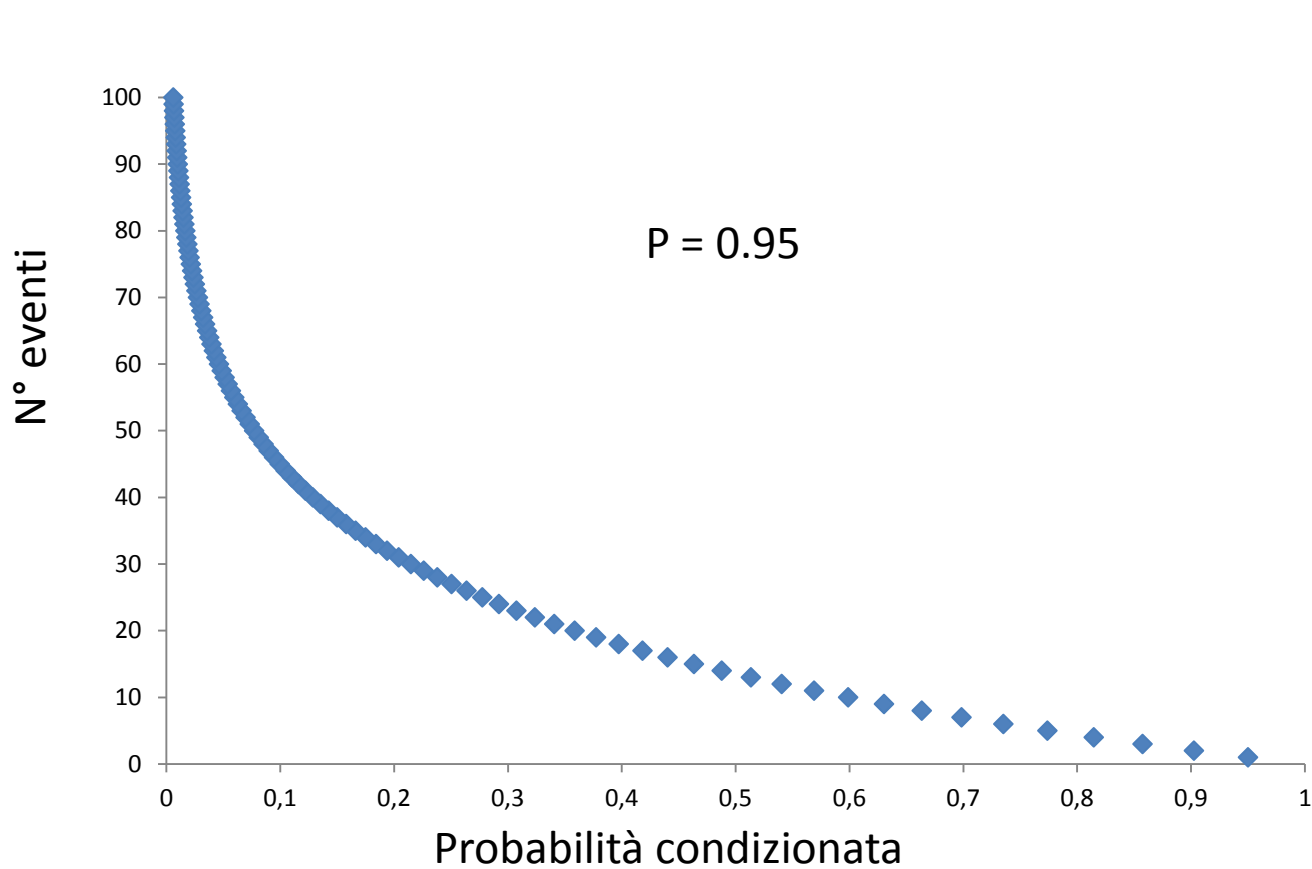
Table 3 Blood count parameters in CTR and MICRO dogs

Parameter/units	CTR	MICRO	<i>p</i>
MCV (fL)	67.0 (59.0–71.1)	57.5 (51.0–59.0)	0.0001
WBC ($\times 10^9/L$)	10.05 (5.8–16.2)	12.1 (6.6–29.7)	0.009
RBC ($\times 10^{12}/L$)	6.88 (5.7–8.0)	6.25 (3.3–8.9)	0.0001
Hgb (g/dl)	15.7 (13.6–18.5)	13.3 (5.6–18.9)	0.0001
Hct (%)	45.4 (36.7–52.9)	35.9 (18.9–49.1)	0.0001
MCH (g/dl)	23.25 (20.1–25.1)	21.2 (17.2–24.1)	0.0001
MCHC (g/dl)	34.6 (32.4–38.7)	36.5 (33.4–40.9)	0.0001
RDW (%)	13.4 (11.8–16.0)	14.8 (12.9–20.5)	0.0001
PLT ($\times 10^9/L$)	271 (91.9–566.6)	266 (87.5–608.5)	0.874
MPV (fL)	9.9 (6.4–11.7)	9.9 (7.2–11.9)	0.846

The data are presented as median (5°–95°percentile)

In the last column, the values of *p* for CTR vs. MICRO, assessed by Mann–Whitney *U* test, are listed

Ancora probabilità



p	eventi
0,95	1
0,9025	2
0,857375	3
0,814506	4
0,773781	5
0,735092	6
0,698337	7
0,66342	8
0,630249	9
0,598737	10
0,5688	11
0,54036	12
0,513342	13
0,487675	14
0,463291	15
0,440127	16
0,41812	17
0,397214	18
0,377354	19
0,358486	20

Esempio pratico

The screenshot shows the PubMed website homepage. At the top, there is a navigation bar with the NCBI logo, a search bar, and a 'Sign in to NCBI' link. Below the navigation bar is a main banner area. The banner on the left features the PubMed logo and the text: 'PubMed comprises more than 22 million citations for biomedical literature from MEDLINE, life science journals, and online books. Citations may include links to full-text content from PubMed Central and publisher web sites.' The banner on the right features the PubReader logo and the text: 'A whole new way to read scientific literature at PubMed Central'. Below the banner are three columns of links: 'Using PubMed', 'PubMed Tools', and 'More Resources'. At the bottom of the page, there is a footer with various categories of links: 'GETTING STARTED', 'RESOURCES', 'POPULAR', 'FEATURED', and 'NCBI INFORMATION'. A blue callout box with a white background and a blue border is positioned on the right side of the page, containing the text '5% = 1.100.000'. A blue arrow points from the callout box to the main banner area.

5% = 1.100.000

eventi	p
1	0,0001
2	0,00000001
3	1E-12
4	1E-16
5	1E-20
6	1E-24
7	1E-28
8	1E-32
9	1E-36
10	1E-40

P evento raro (1/10.000)

Altro esempio



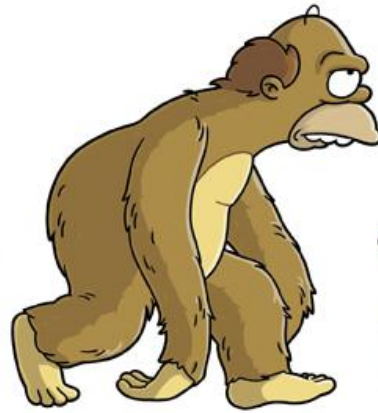
... però ...



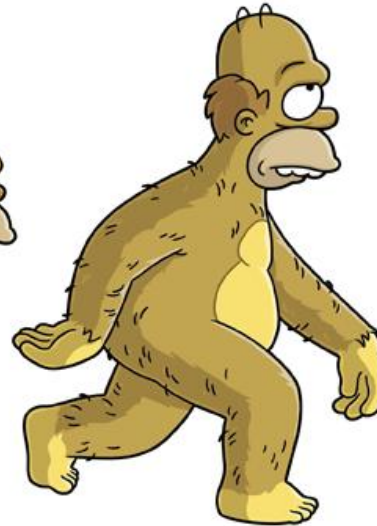
MONKIUS EATALOTIS



CHIMPUS IMBECILUS



APEIS STUPIDIUS



NEANDERSLOB

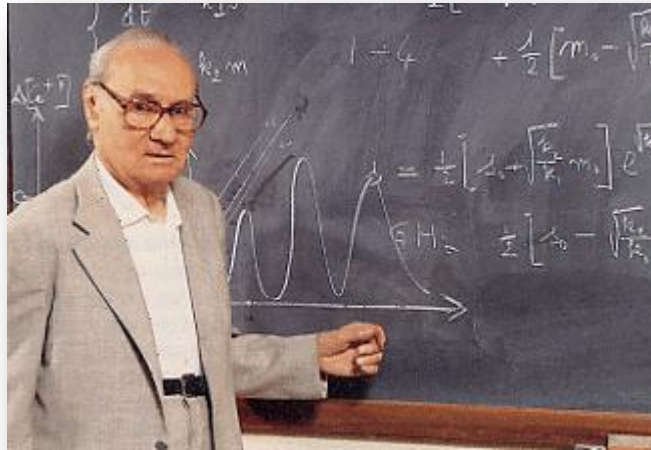


HOMERSAPIEN

HOMERSAPIEN

Probabilità per unità di tempo

«Il concetto di *probabilità per unità di tempo* risulta essenziale quando si tratti di spiegare come mai sia possibile il verificarsi di un certo esito, che di fatto richiede la concorrenza concertata di un gran numero di eventi casuali diversi. È la difficoltà di fronte alla quale molti capitolano, quando si tratta di giustificare in qualche modo il formarsi spontaneo di un sistema chimico appropriato di una prima cellula vivente. Sembra loro che il numero di eventi casuali concorrenti che debbono verificarsi sia talmente elevato, da rendere la probabilità della comparsa spontanea della vita un evento di probabilità evanescente» (Mario Ageno)



Esempio

1/100 secondo

1/1000

p=0,001

1	0,001
2	0,000001
3	0,000000001
4	1E-12
5	1E-15

1 anno 31536000secondi

1 anno 3,1536E-06

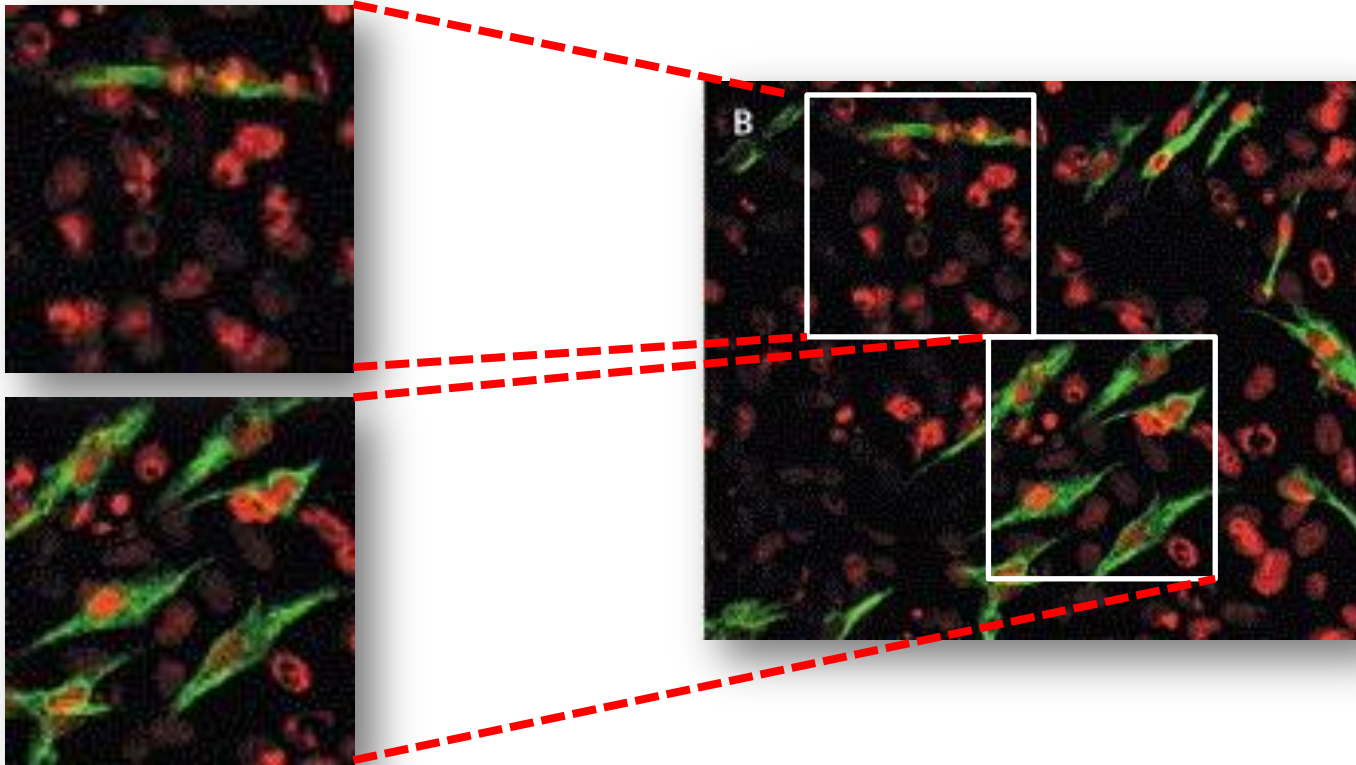
1000 anni 0,0031536

1 miliardo
di anni 3153,6



How life on Earth really got its start.

Alcune considerazioni operative ...



RAPPRESENTAZIONE DEI DATI

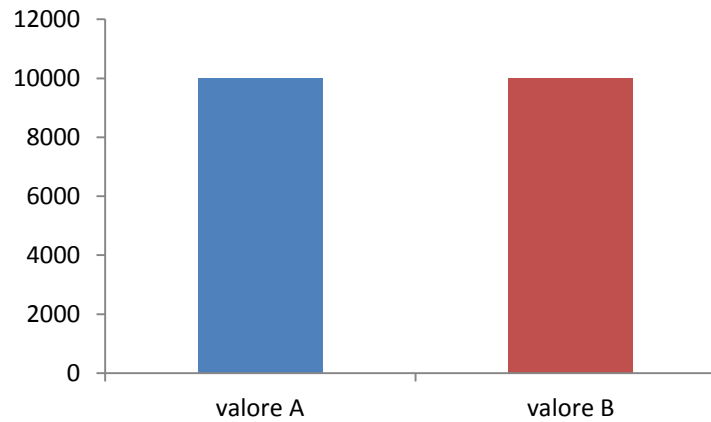
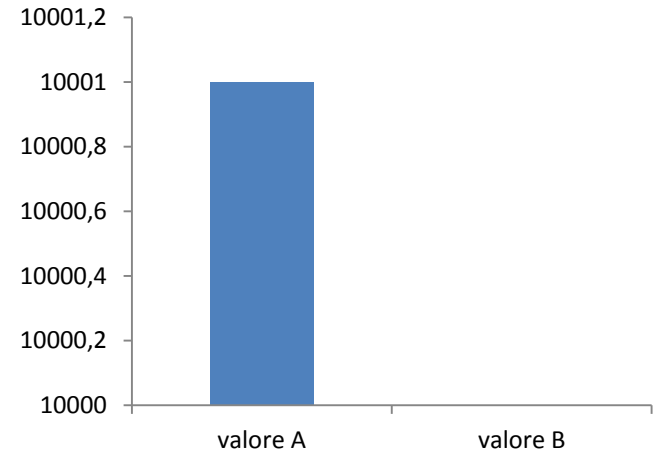
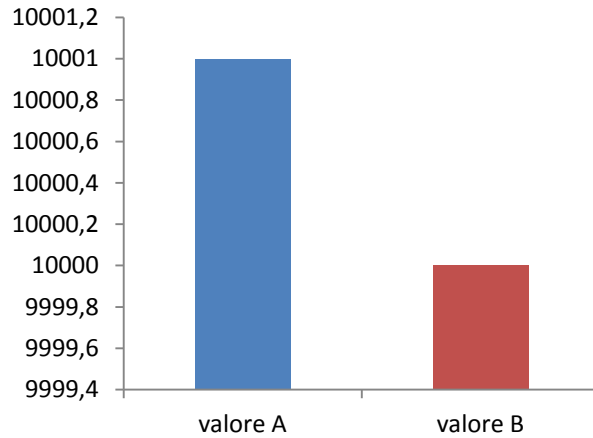


ULTIMA FASE!!!



H SERIES
FINALE
EVENT
MON MAY 21
8/7c **FOX**

Deve essere corretto...



Esempi...

Web A x roc Trattamento Effetto Filler x UniTE - Home Page dell'U x Grisu il draghetto - Grisu x

roc.com/viso/rides-filler/trattamento-effetto-filler-immediato-contorno-occhi-e-labbra

mon: Home - PubMed - Home - Università de... UniTE - Home Page ... BioLayout Express3D Reactome The modified Edin... K-Idea VC

ALTRI PAESI CONTATTI CERCA OK

IL BRAND VISO CORPO DERMATOLOGIC SOLARI

Home > VISO > RoC® RETIN-OX™ RIDES FILLER > Trattamento Effetto Filler Immediato contorno occhi e labbra

VISO

RoC® RETIN-OX™ RIDES FILLER

- Trattamento Effetto Filler Immediato giorno & notte
- Filler Istantaneo Rughe Profonde
- Trattamento Effetto Filler Immediato contorno occhi e labbra

RETINOLO

Trattamento Effetto Filler Immediato contorno occhi e labbra

RoC® RIDES FILLER
Trattamento Effetto Filler Immediato
contorno occhi e labbra

Riempie le rughe immediatamente

DESCRIZIONE TEST CLINICI CONSIGLI DELL'ESPERTO

% MIGLIORAMENTO
Valutazione clinica su 28 soggetti subito dopo l'applicazione

% DI MIGLIORAMENTO

Area	% di Miglioramento
zampe di gallina	23 %
linee sottili	28 %
rughe periorculari	32 %
linee sottili periorculari	32 %

Studio clinico - 20 soggetti subito dopo l'applicazione

Scopri anche:

CREMA IDRATANTE COMFORT 24H TEXTURE RICCA

LATTE STRUCCANTE IDRATANTE

o-effetto-filler-immediato-contorno-occhi-e-labbra

$$20 * 0.32 = 6.4$$

$$20 * 0.28 = 5.6$$

$$20 * 0.23 = 4.6$$

Test clinici Shampoo Antiforfora

Studio effettuato su 40 soggetti, trattati per 2 mesi. La valutazione delle squame è stata eseguita ogni 2 settimane. All'inizio e durante lo studio, lo stato della desquamazione è stato valutato per ciascun soggetto secondo i seguenti parametri visivi:

Tabella sulla	Valutazione
Squame numerose e grandi	10
Squame numerose e piccole	8
Squame grandi	7
Squame piccole	5
Squame grandi e meno numerose	3
Squame piccole e meno numerose	1

La media dei risultati ottenuti sui 40 soggetti è riportata nel grafico:

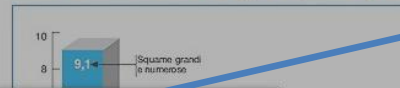


Tabella sulla	Valutazione
Squame numerose e grandi	10
Squame numerose e piccole	8
Squame grandi	7
Squame piccole	5
Squame grandi e meno numerose	3
Squame piccole e meno numerose	1
Assenza di squame	0

La media dei risultati ottenuti sui 40 soggetti è riportata nel grafico:

Tempo	Valore
Inizio	9,1
15 giorni	3,3
30 giorni	1,1
45 giorni	< 0,1
60 giorni	< 0,1

Non basta !



Intimaïd

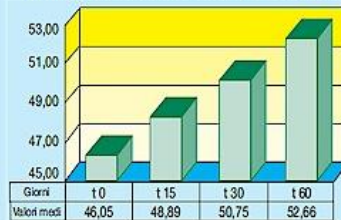
detergente intimo con Mentolo e Tea Tree, freschezza e benessere naturale. [read more](#)



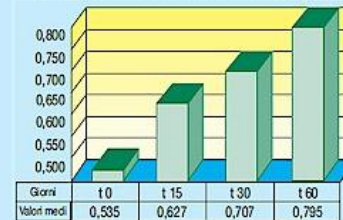
Test clinici Crema Antirughe



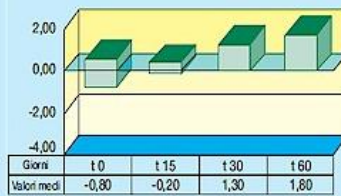
AUMENTO DELL'IDRATAZIONE CUTANEA



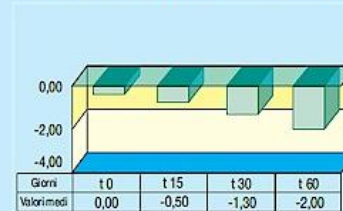
AUMENTO DELL'ELASTICITA' CUTANEA



INCREMENTO DELLA COMPATTEZZA CUTANEA



DIMINUIZIONE DELLA MICRORUGOSITA'





Milano.

E' stato condotto uno studio clinico per la valutazione dell'efficacia del Glycosan plus Bio-Complex in soggetti che presentano diffusa caduta dei capelli ed alopecia androgenetica. Il test ha permesso di ottenere risposte attendibili poichè rispecchia le reali condizioni di impiego del prodotto. La lozione è stata applicata a giorni alterni, per 4 mesi consecutivi; lo shampoo 2 volte a settimana. **I risultati relativi al test dimostrano che Glycosan plus Bio-Complex è efficace nel ridurre la caduta dei capelli, nell'aumentare la resistenza alla trazione, diminuire la seborrea, la forfora ed il prurito del cuoio capelluto. I risultati sono stati riscontrati già dopo 90 giorni di utilizzo.**

CADUTA DEI CAPELLI

Le medie calcolate per i soggetti sottoposti al test, dimostrano una **diminuzione della caduta dei capelli del 51,28% in tutti i soggetti** (Tab. 1). Le riprese videoregistrate hanno permesso di confrontare visivamente le zone di saggio all'inizio del test e a 120 giorni di trattamento evidenziando un aumento del numero dei capelli (Fig. 1 - Fig. 2).

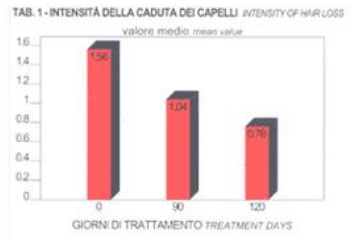


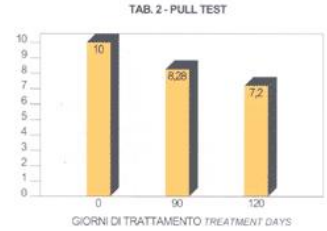
Fig. 1 - Immagine fotografica del cuoio capelluto al momento dell'inclusione (t0) che mostra un marcato diradamento dei capelli.



Fig. 2 - Immagine fotografica del cuoio capelluto dello stesso soggetto dopo 120 giorni di trattamento. Si nota una ricrescita di capelli rispetto all'inclusione.

RESISTENZA DEI CAPELLI ALLA TRAZIONE (PULL TEST)

Nell'alopecia androgenetica esercitando una trazione manuale il numero dei capelli prelevato è superiore rispetto al prelievo in condizioni normali. Dopo 90 giorni di trattamento con Glycosan plus Bio-Complex si ottiene una diminuzione del 28% (Tab. 2) del numero dei capelli asportati con la trazione dimostrandone l'efficacia nel ridurre la caduta. Il test ha evidenziato inoltre un miglioramento delle qualità biomeccaniche dei capelli quali spessore, elasticità e resistenza.



INDICAZIONI

Il Glycosan plus Bio-Complex viene consigliato nelle diverse forme di caduta dei capelli, sia su base ereditaria che acquisita, indicate nella tabella seguente.

Microsoft Outlook Web A x Risultato della ricerca imri x Gestione Sondaggio x UniTE - Home Page dell'U x Vicky the Viking - The Cor x

www.google.it/imgres?q=test+clinici&um=1&hl=it&safe=off&tbo=d&biw=1280&bih=939&tbn=isch&tbnid=Kb0RR6S8CZmU3M

Pathway Commons... Home - PubMed - ... Home: Università de... UniTE - Home Page ... BioLayout Express3D Reactome The modified Edin

Somatoline Cosmetic™

SOMATOLINE COSMETIC ANTI-AGE SNELLENTI DEODORANTI FUNZIONA APPROFONDIMENTI CONSIGLI


UOMO

Somatoline Cosmetic™

Funziona

Sempre più uomini ritengono l'aspetto fisico e la cura del corpo una prerogativa importante per sentirsi bene con se stessi e con gli altri. Dall'esperienza Somatoline Cosmetic nasce Somatoline Cosmetic UOMO, una linea di prodotti appositamente formulati per le esigenze dell'uomo.

Test clinici lo dimostrano.

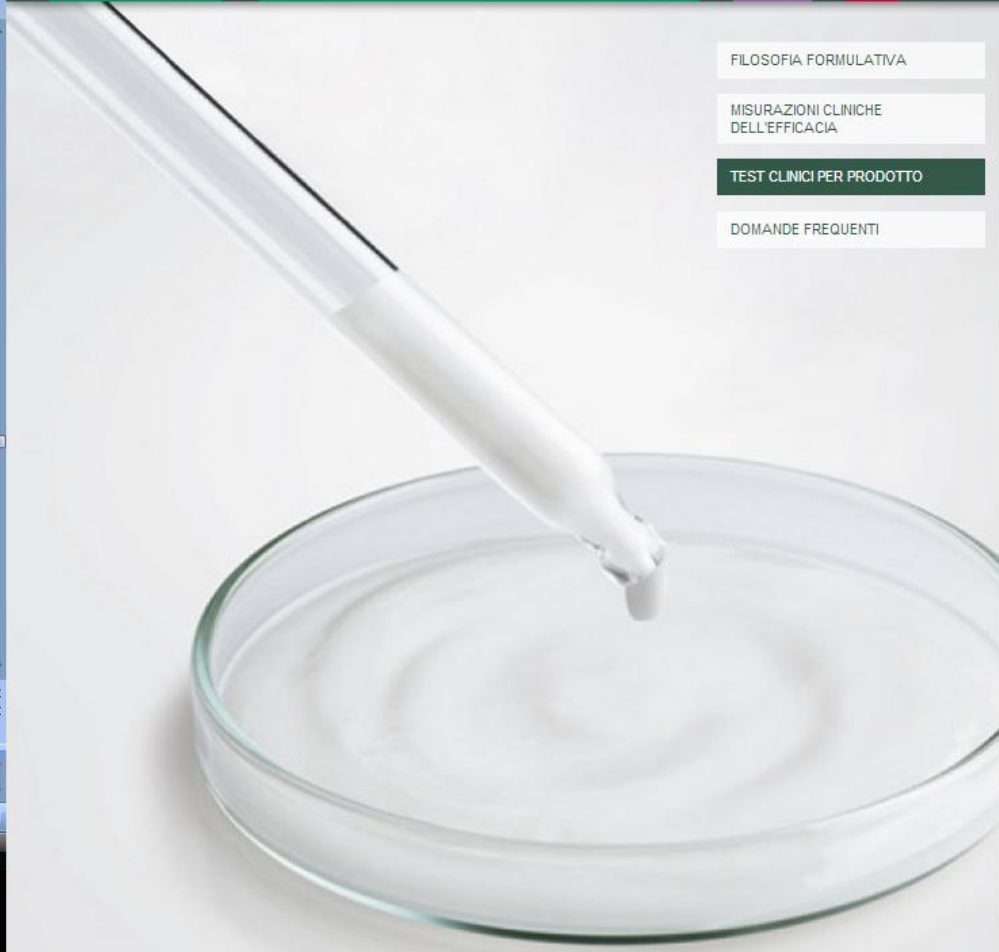


Misurazioni cliniche e strumentali presso istituti indipendenti

© 2012 Società Italo Britannica L.Manetti - H.Roberts & C. per Azioni - P.IVA: 04420740484 [Contatti](#) | [Note legali](#)

www.somatolinecosmetic.it/somatoline-cosmetic-uomo/

BOLTON
PARIS



Microsoft Outlook Web A x Sc Somatoline Cosmetic x Gestione Sondaggio x UniTE - Home Page dell'U x Vicky the Viking - The Cor x

www.somatolinecosmetic.it/funziona/test-clinici-prodotto/trattamento-snellente-menopausa/

Pathway Commons: Home - PubMed - Home: Università de... UniTE - Home Page ... BioLayout Express3D Reactome The modified Edinb... K-Idea VCell The Virtual Cel...

Somatoline Cosmetic™

SNELLENTI CURA DEL CORPO DEODORANTI ANTI-AGE UOMO FUNZIONA APPROFONDIMENTI CONSIGLI

FILOSOFIA FORMULATIVA

MISURAZIONI CLINICHE DELL'EFFICACIA

TEST CLINICI PER PRODOTTO

DOMANDE FREQUENTI

Trattamento Snellente Menopausa

Valutazione clinica e strumentale dell'efficacia e della tollerabilità verso placebo

Lo studio, in doppio cieco randomizzato, verso placebo è stato condotto sotto controllo dermatologico presso un istituto specializzato.

Il prodotto è stato applicato 2 volte al giorno, per un periodo di 4 settimane su 51 donne in menopausa (da almeno 3 anni), di età compresa tra i 51 e i 74 anni, che presentavano adiposità localizzata a livello del girovita e fianchi.

Al momento dell'inclusione, dopo 2 e 4 settimane di utilizzo, sono state eseguite le seguenti valutazioni cliniche/strumentali pianificate per determinare l'efficacia del prodotto:

- **Valutazione della circonferenza** attraverso misurazioni centimetriche in varie sedi corporee;
- **Valutazione del pannicolo adiposo** attraverso misurazioni ecografica e plicometrica in varie sedi corporee;
- **Valutazione clinica oggettiva del dermatologo** delle adiposità localizzate su addome e fianchi.

È stata eseguita un'analisi statistica per valutare la significatività dei dati clinici e strumentali e il confronto tra prodotto test e placebo.

Valutazione clinica e strumentale dell'efficacia e della tollerabilità verso placebo - Risultati e conclusioni

Il trattamento Snellente Specifico Menopausa ha determinato dopo 4 settimane:

- una **riduzione statisticamente significativa** delle circonferenze girovita/fianchi
- una **riduzione statisticamente significativa** dello spessore del pannicolo adiposo

A livello dei fianchi, determinando quindi un'attività snellente:

- un aumento statisticamente significativo dell'elasticità cutanea.

Il placebo invece non ha evidenziato alcuna variazione significativa dei parametri studiati.

Il prodotto è inoltre risultato ottimamente tollerato dal 100% dei volontari.

© 2012 Società Italo Britannica L.Manetti - H.Roberts & C. per Azioni - P.IVA: 04420740484 [Contatti](#) | [Note legali](#)

BOLTON GROUP

Come si deve fare

Microsoft Outlook Web A x Elezioni 2013, sondaggio l x Gestione Sondaggio x UniTE - Home Page dell'U x Grisù il draghetto - 02 - Gi x

www.sondaggipoliticoelettorali.it/GestioneSondaggio.aspx

Pathway Commons... Home - PubMed - ... Home: Università de... UniTE - Home Page ... BioLayout Express3D Reactome The modified Edinb... K-Idea VCell The Virtual Cel...

Governo italiano
Presidenza del Consiglio dei Ministri

Dipartimento per l'Informazione e l'Editoria

Utente Anonimo

Menu

- Home
- HELP
- Sondaggi
 - Elenco Sondaggi
- Log In
- Registrazione
- Vecchio sito

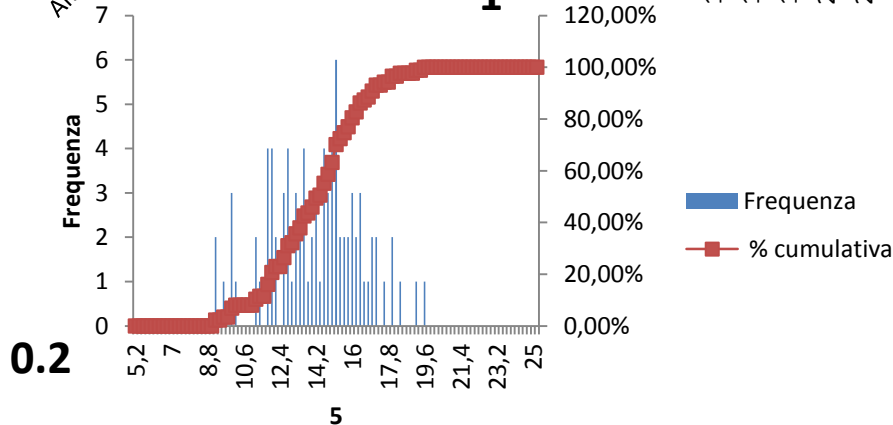
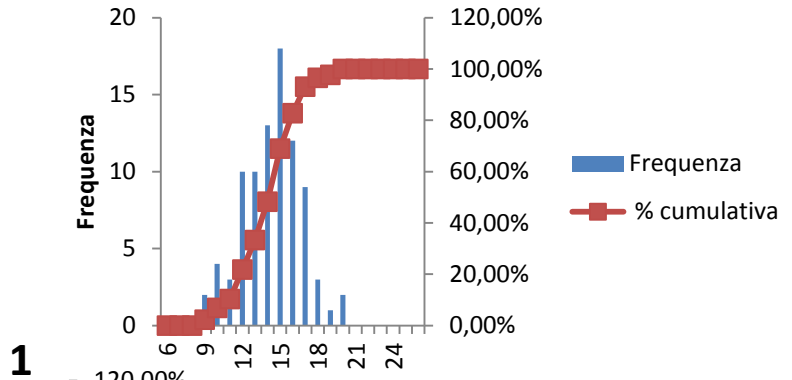
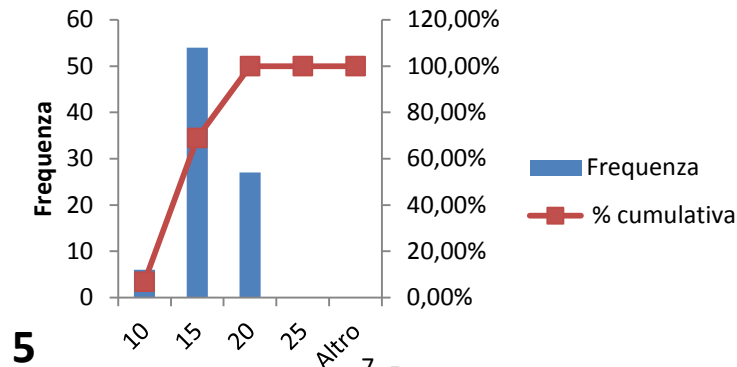
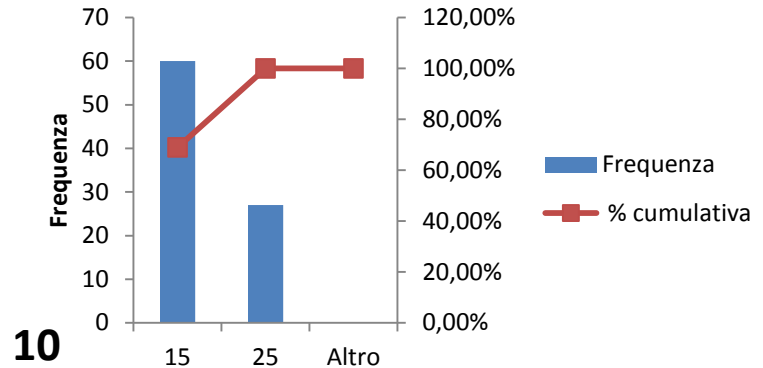
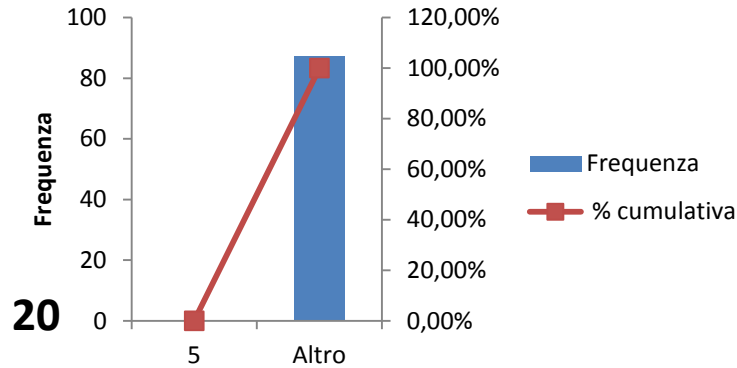
SONDAGGIO

Dati Sondaggio Domande Conclusioni

Titolo del sondaggio	Soggetto che ha realizzato il sondaggio
Intenzioni di voto per la Camera dei Deputati	EMG Srl
Soggetto committente	Soggetto acquirente
La7 Srl	La7 Srl
Data o periodo in cui è stato realizzato il sondaggio - Da	Data o periodo in cui è stato realizzato il sondaggio - A
17/01/2013	18/01/2013
Mezzo(i) di comunicazione di massa sul quale(i) è stato pubblicato o diffuso il sondaggio	Data di pubblicazione o diffusione
Televisivo	21/01/2013
Popolazione di riferimento	Estensione territoriale del sondaggio
Popolazione italiana maggiorenne per sesso, età, regione, classe d'ampiezza demografica dei comuni	Italia
Metodo di campionamento, inclusa l'indicazione se trattasi di campionamento probabilistico o non probabilistico, del panel e l'eventuale ponderazione	Consistenza numerica del campione di intervistati, numero dei non rispondenti e delle sostituzioni effettuate
Campione rappresentativo della popolazione italiana maggiorenne per sesso, età, regione, classe d'ampiezza demografica dei comuni	Universo: popolazione italiana maggiorenne; campione: 1.000 casi
Rappresentatività del campione, inclusa l'indicazione del margine d'errore	Metodo raccolta delle informazioni
Intervallo fiduciario delle stime: +/- 3.1%; totale contatti: 5.119 (tasso di risposta: 20%); totale rifiuti/sostituzioni: 4.119 (tasso di rifiuto: 80%)	Rilevazione telefonica (CATI) - Fisso/Mobile

Toolbar Scarica Sondaggio Gestione Sondaggi

RAPPRESENTAZIONE DEI DATI



Valori di Hgb di 87 cani

n = 87

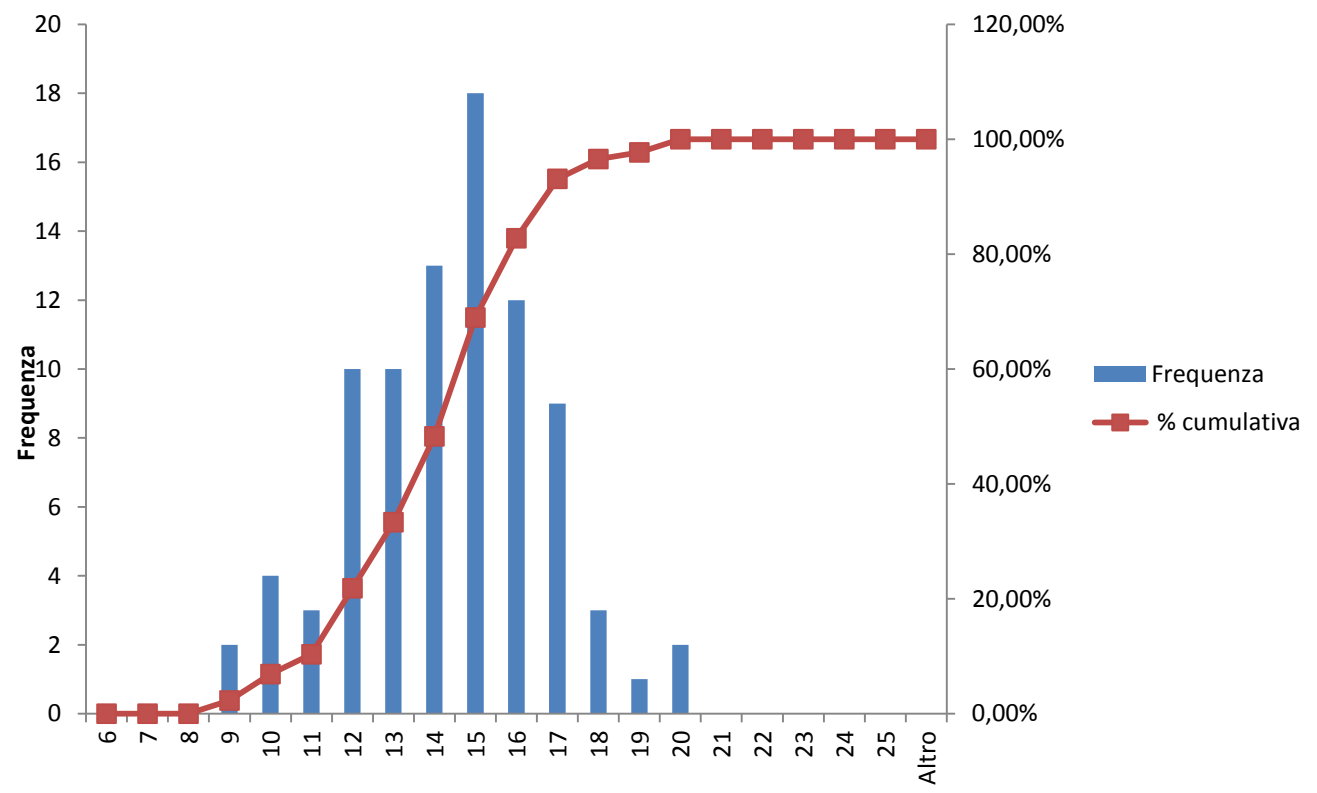
Radq(87) = 9.3

Intervalli = $87/9.3 = 9.7 \approx 10$

Min 9

Max 20

$(20 - 9)/10 \approx 1$



RAPPRESENTAZIONE DEI DATI

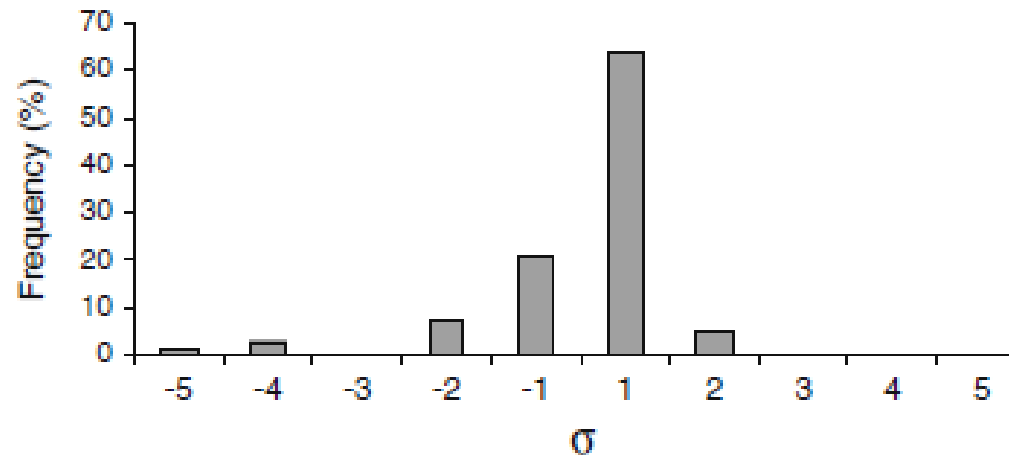


Fig. 1 The pattern distribution of MCV values in MICRO dogs is shown: the original MCV data are transformed by the following equation [$z=(x-\mu)/\sigma$, where x =MCV, μ =mean; σ =standard deviation] that creates a new population of data characterized by mean=0 and standard deviation=1. The histogram represents the frequency (%) of data expressed as units of standard deviation

$$z = \frac{(x - \bar{x})}{\sigma}$$

$$x = 0$$

$$\sigma = 1$$

RAPPRESENTAZIONE DEI DATI

Table 3: Vessel diameters recorded in the pig pre (PreOF)- and periovulatory (EPerOF-LPerOF) follicles.

	PreOF (60 h-eCG)	EPerOF (18 h-hCG)	LPerOF (36 h-hCG)
Inner vascular plexus	7.08 [6.84–7.98]	6.41 [4.69–7.34]	8.25 [6.34–12.67]
Middle vascular plexus	46.23 [43.87–72.20]	44.40 [39.60–61.39]	66.62 [63.37–73.27]
Outer vascular plexus	11.61 [7.31–16.45]	11.09 [7.92–23.76]	11.36 [9.50–19.01]

The values are expressed as harmonic mean with the 25^o and 75^o percentile since all values did not display a Gaussian distribution (P > 0.05).

Table 5: Vascular geometric relations in the vessels of middle plexus of pig pre- and periovulatory follicles.

	PreOF (60 h-eCG)	EPerOF (18 h-hCG)	LPerOF (36 h-hCG)
β'	1,029 [1.029–1.640]	0,972 [0.910–1.088]	0,914 [0.869–1.259]
γ'	0,816 [0.733–1.000]	0,691 [0.600–0.833]	0,725 [0.658–1.000]
Δ'	2,142 [1.8151–2.288]	1,977 [1.811–2.024]	1,871 [1.666–2.199]
β	1,138 [1.017–1.569]	0,967 [0.813–1.199]	0,880 [0.742–1.438]
γ	0,773 [0.713–1.000]	0,644 [0.625–0.667]	0,758 [0.668–1.000]
Δ	2,113 [2.061–2.333]	1,962 [1.507–2.392]	1,891 [1.401–2.286]
Branching angles (°)	49.1 [41.0–65.5]	46.3 [33.0–52.1]	50.00 [38.0–72.3]

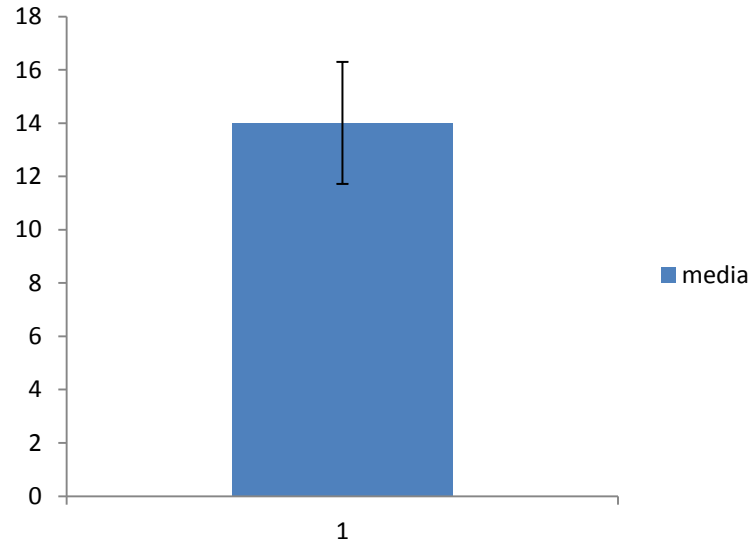
Vascular parameter degrees were valuated at points (β' , γ' , and Δ') and immediately after (β , γ , and Δ) vessels bifurcation.

The values are expressed as harmonic mean with the 25^o and 75^o percentile since all values did not display a Gaussian distribution (P > 0.05).

β , β' = area ratio; γ , γ' = asymmetry ratio; Δ , Δ' = bifurcation exponent.

DISTR. GAUSSIANA

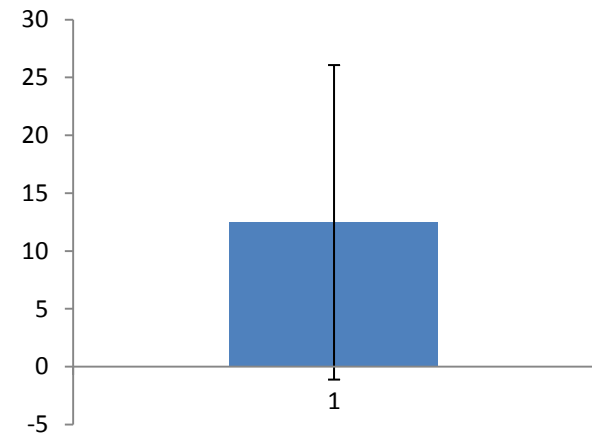
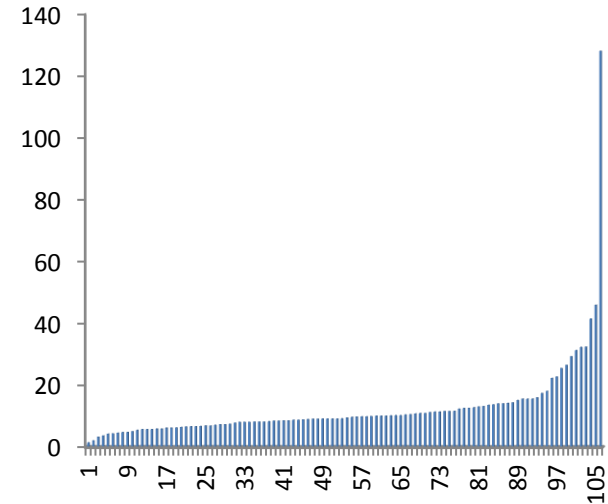
valori Hct 106 cani sani



media 14,01
dev st 2,29

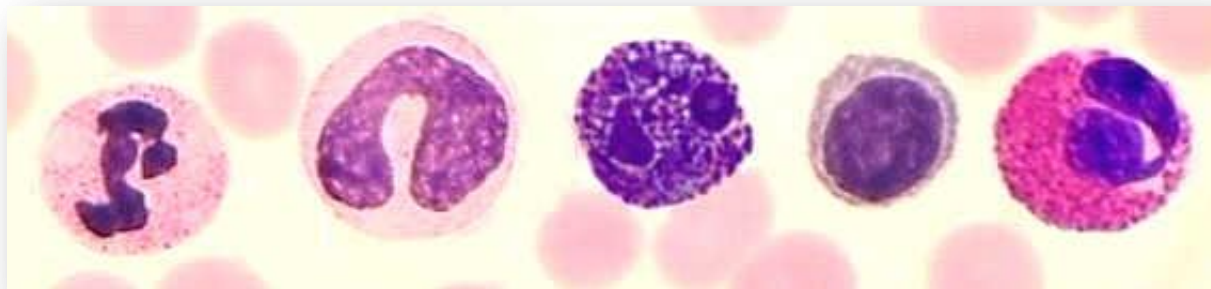
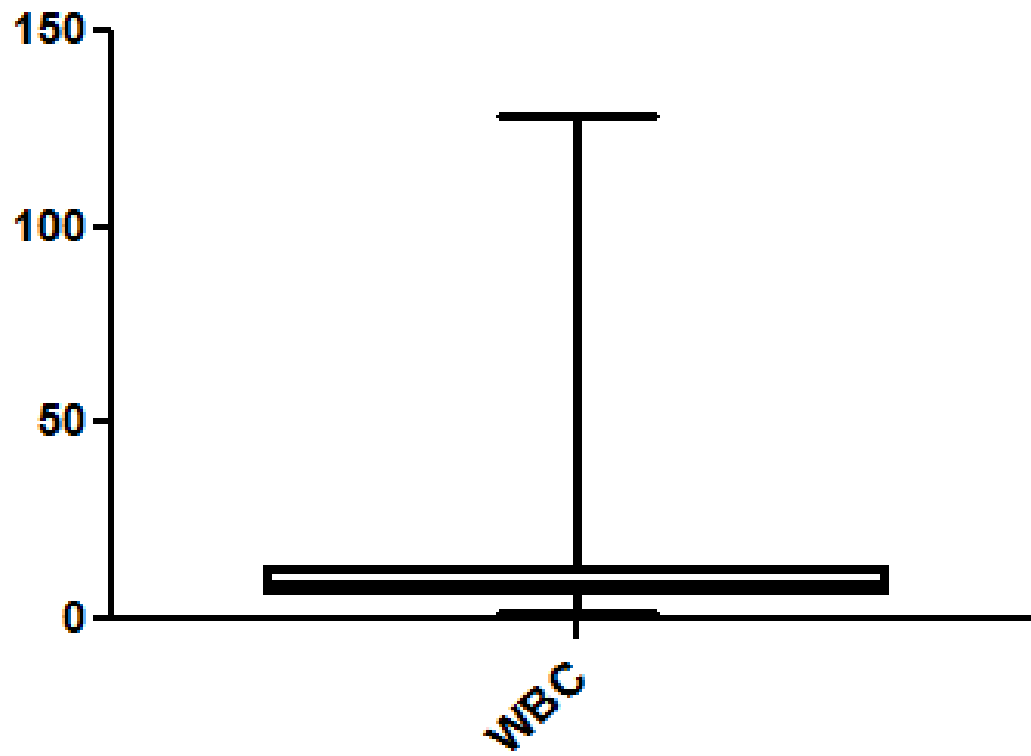
DISTR. NON GAUSSIANA

valori WBC 106 cani sani

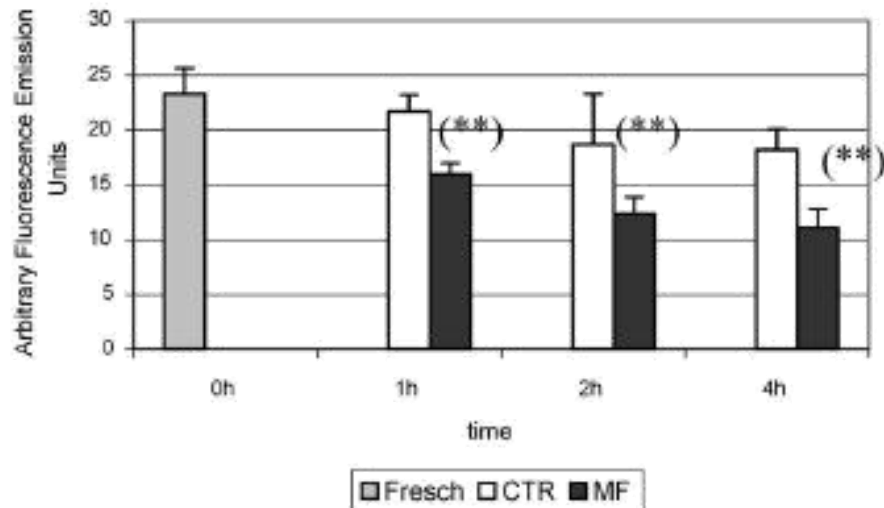
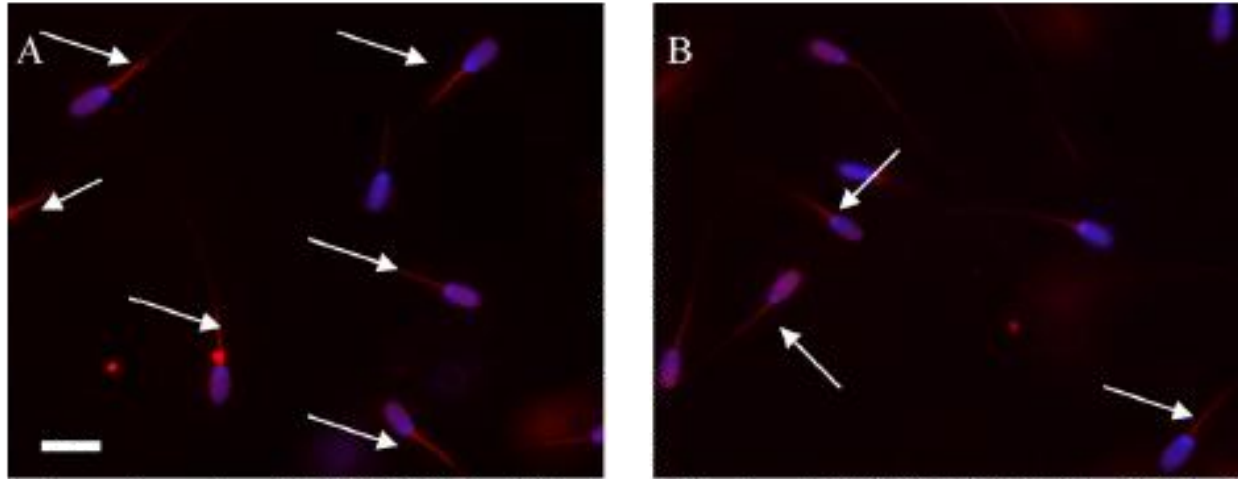


media 12,47642
dev.st 13,57074

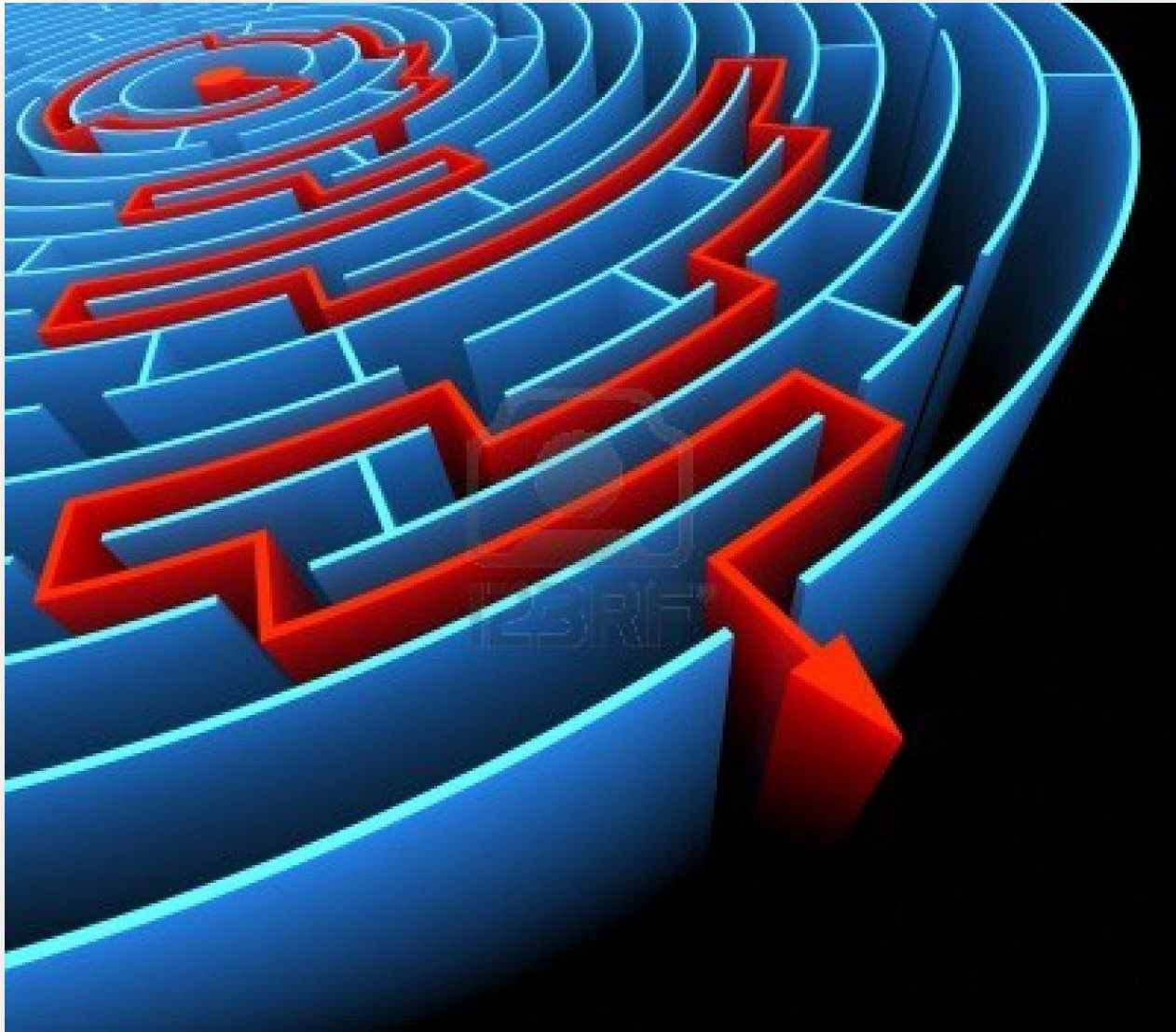
WBC



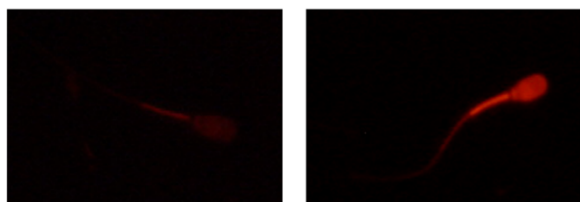
GRAFICI



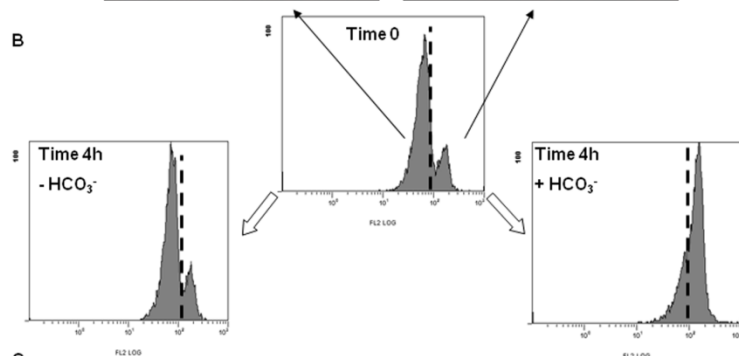
Indici, apici ed asterischi...



A



B



C

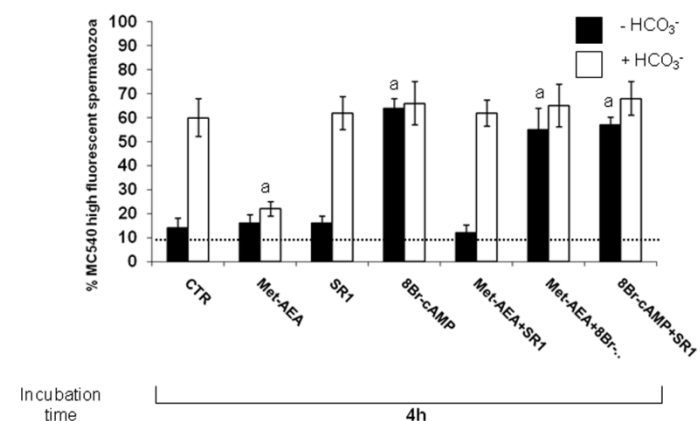


Table 1 Difference about dog breed composition in CTR and MICRO

Dog breed	CTR (N=926)	MICRO (n=86)
Mixed	46.0% (426)	25.6% (22) [*]
Rottweiler	5.0% (46)	11.6% (10) [*]
Boxer	11.0% (102)	7.0% (6) [*]
Great Dane	1.0% (9)	4.7% (4) [*]
Maremmano Sheepdog	0.3% (3)	3.5% (3) [*]
Basset Hound	0.4% (4)	2.3% (2) [*]
Lhasa Apso	0.2% (2)	2.3% (2) [*]
Labrador retriever	10.6% (98)	9.3% (8)
Dobermann	7.3% (68)	8.1% (7)
German shepherd dog	6.7% (62)	5.8% (5)
Italian Hound	1.1% (10)	3.5% (3)
Schnautzer	1.7% (16)	3.5% (3)
Shih Tzu	1.3% (12)	3.5% (3)
Pinscher	1.2% (11)	2.3% (2)
Siberian Husky	1.5% (14)	2.3% (2)
Dogue De Bordeaux	0.8% (7)	2.3% (2)
Golden retriever	3.5% (36)	2.3% (2)

For each breed, the percentage and the absolute value of subjects in brackets is reported

^{*}*p*<0.01 (Fisher test)

Table 2 *p* value of correlation of MCV with other hematological parameters in CTRL and MICRO group of dogs assessed by a linear multivariate regression model

	CTR	MICRO
WBC	NS	<i>p</i> <0.05
RBC	<i>p</i> <0.001	<i>p</i> <0.001
Hgb	<i>p</i> <0.05	NS
Hct	NS	<i>p</i> <0.001
MCH	<i>p</i> <0.001	NS
MCHC	<i>p</i> <0.001	NS
RDW	NS	<i>p</i> <0.001
PLT	NS	NS
MPV	NS	<i>p</i> <0.05

NS, non significant=*p*>0.05

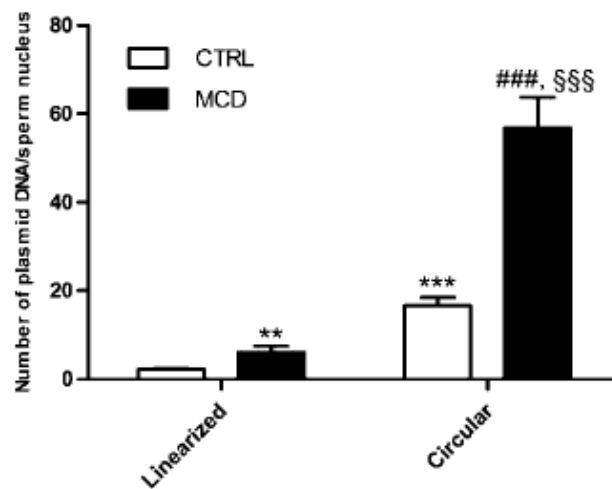


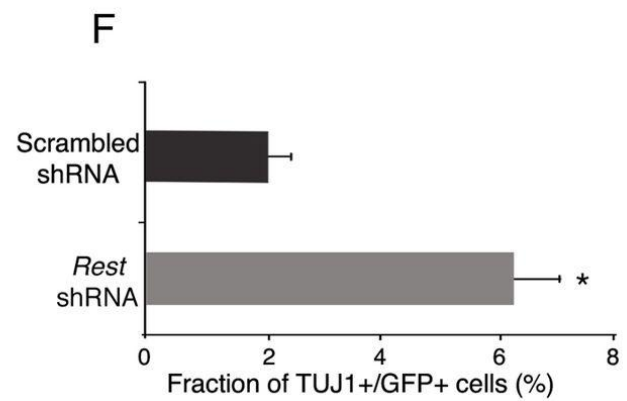
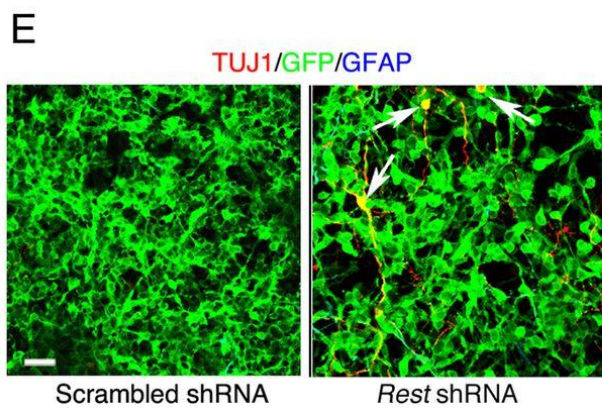
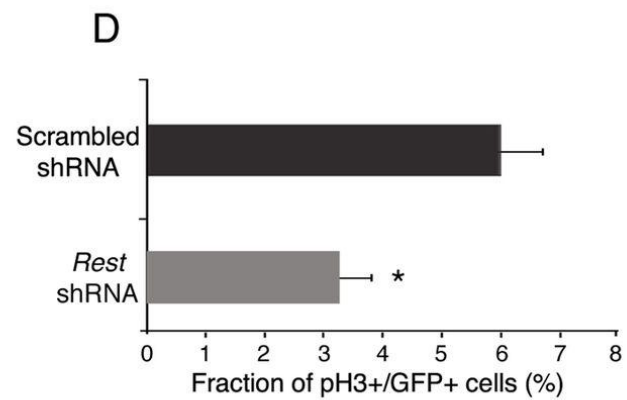
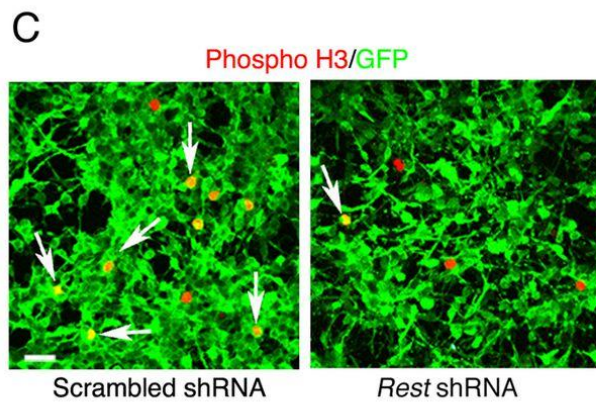
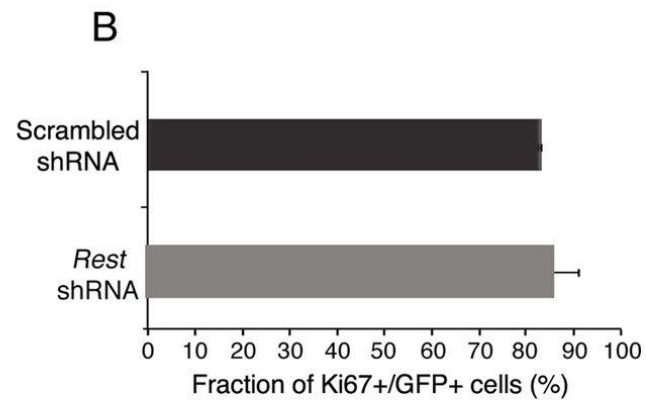
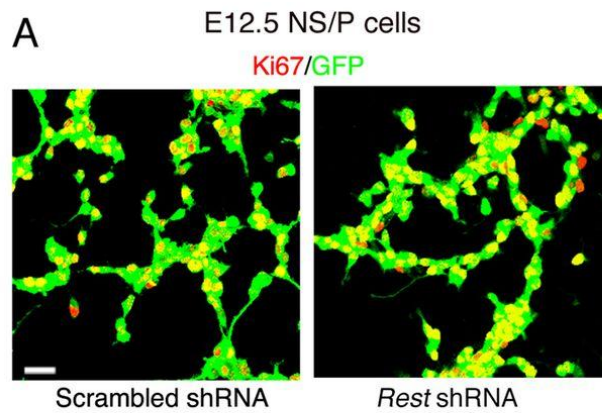
Figure 1. Effect of plasmid topology and plasma membrane cholesterol depletion on the efficiency of DNA uptake by swine sperm. Sperm cells were pre-incubated with incubation buffer (CTRL) or 1 mM MCD for 30 min, and then exposed to linearized or circular plasmid. After DNA incubation, cells were washed with incubation buffer. Total DNA was extracted from purified nuclei and analyzed by qRT-PCR, as described in Materials and Methods Section. Data are means ± standard deviation of at least two independent experiments performed in triplicate. ***P*<0.01 versus CTRL linearized; ****P*<0.001 versus CTRL linearized; ###*P*<0.001 versus CTRL circular; \$\$\$*P*<0.001 versus MCD linearized.

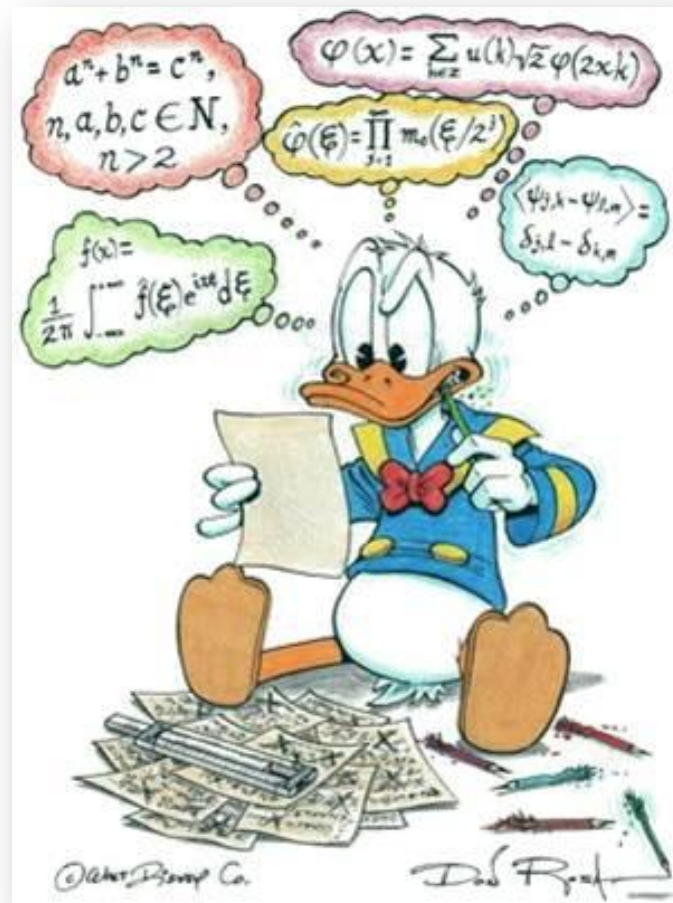
TABLE 2. Effects of DNA and MCD Treatment on In vitro Fertilization Assay

Treatment	Parameter			
	Fertilized oocytes (%)	Polyspermic oocytes (%)	Sperm cells/ polyspermic oocyte	Morphologically normal pronuclei (%)
CTRL	92 ± 3	69 ± 3	6.6 ± 1.1	100
CTRL + DNA	89 ± 4	65 ± 5	7.6 ± 0.8	100
MCD	62 ± 4*	44 ± 2*	2.3 ± 0.3*	100
MCD + DNA	69 ± 5*	46 ± 3*	2.6 ± 0.3*	100

Values are means ± standard error mean of at least two independent experiments performed in triplicate. CTRL, untreated sperm cells; CTRL + DNA, sperm cells incubated with circular DNA; MCD, sperm cells pre-incubated with MCD; MCD + DNA, sperm cells pre-incubated with MCD and then with circular DNA.

**P*<0.01 versus CTRL.





Lo statistico è un uomo che fa un calcolo giusto partendo da premesse dubbie per arrivare ad un risultato sbagliato. (Jean Delacour)